

## 砂粒運動に伴う砂面擾乱の発生について

京都大学工学部 正員 中川 博次  
京都大学文学院 学生員 ○辻本 哲郎  
京都大学文学院 学生員 矢田 茂

掃流現象と砂粒レベルで観ると、個々の砂の動きを stochastic に扱うことは次の理由で非常に有効である。  
(1) 砂粒の運動は離散的(間歇的)であるため、sediment pick-up rate  $\rho_s$  などは rate というよりもむしろ単位時間あたりの確率密度と見なせる。(2) 砂粒の運動を支配するものは河床ごとの砂の配列、流行かの運動などランダムな要素が強い。(3) stochastic な方法では、得られる情報だけでも現象をモデル化でき、情報が豊かになるにつれてモデルを逐次改良することができる。

以上の観点から、まず「河床における砂粒のランダムな離脱、落下が繰り返されることによる河床高さの変動の程度を推定すること」を試す。すなはち、砂面上の一点(砂粒1個のため面積)における砂面高さ( $y=nd$ で表す)初期高さを $0$ とする、また $d$ :粒径)の変化に対する過渡過程は砂粒の離脱および落下で、これらの起る3単位時間あたりの確率密度をそれぞれ $\mu_s, \mu_d$ とすると、Smoluchowski の条件を適用して、 $n$ に関する次の式が得られる。

$$p(n; t+dt) = [1 - (\mu_s + \mu_d) dt] p(n; t) + \mu_s dt p(n+1; t) + \mu_d dt p(n-1; t) + o(dt) \quad \dots \dots (1)$$

$n=1$ 、 $p(n; t)$ は初期 $t=0$ である時、時刻 $t$ で $y=nd$ となる条件付確率である。また $o(\cdot)$ は、Landau の $o$ である。 $dt \rightarrow 0$ とし、 $p(n; t)$ には以下の微分方程式  $dp(n; t)/dt = -\mu_s + \mu_d) p(n; t) + \mu_s p(n+1; t) + \mu_d p(n-1; t) \dots \dots (2)$  が導かれる。式(2)の両辺を $t$ について $-\infty$ から $+\infty$ まで $dt$ を合せると、左辺 $= (d/dt) \sum_{n=-\infty}^{\infty} n p(n; t)$   
 $= d[E\{n\}]/dt$ 、右辺 $= -\mu_s + \mu_d) \sum_{n=-\infty}^{\infty} n p(n; t) + \mu_s \sum_{n=-\infty}^{\infty} (n+1) p(n+1; t) + \mu_d \sum_{n=-\infty}^{\infty} (n-1) p(n-1; t) \dots \dots (3)$  となり $\sum_{n=-\infty}^{\infty} p(n; t) = 1$ であることから、結局式のように $n$ の期待値 $E\{n\}$ (1次モーメント)に対する微分方程式に書き換えられる。

$d[E\{n\}]/dt = \mu_d - \mu_s \dots \dots (3)$   $n$ の高次モーメントに対する微分方程式も同様の手法で求められ、一般に $E\{n^k\}$ について表示すれば、次のようである。 $d[E\{n^k\}]/dt = \sum_{i=1}^k [C_i \{ \mu_d + (-1)^{i-1} \mu_s \} \cdot E\{n^{k-i}\}] \dots \dots (4)$

いま、平均的には流砂が平衡していると考えれば、 $\mu_s = \mu_d \equiv \mu$ で、このとき微分方程式(4)は、逐次解け、 $E\{n\} = 0$ 、 $E\{n^2\} = 2\mu t + C_0$ 、 $E\{n^3\} = 0$ 、  
 $\dots \dots (C_0: 積分定数)$ が得られる。エルゴード性を仮定すると、 $\{n\}$ は河床高の水路方向の分布とみなすことができる、 $E\{n\}$ は平均河床高、 $E\{n^2\}$ はその分散を表す。河床高の分散を $\sigma^2$ 、skewness を SR とすると、 $\sigma^2/\mu^2 = 2\mu t$ 、 $SR = E\{n^3\}/(E\{n^2\})^{3/2} = 0$ 。(ただし、初期は全く平坦として $C_0 = 0$ とおいた)となり、また奇数次モーメントはすべて零となることが示され、河床高分布は正規分布で良く近似されることがわかる。

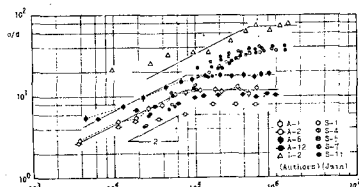


図-1 河床高標準偏差の時間的変化

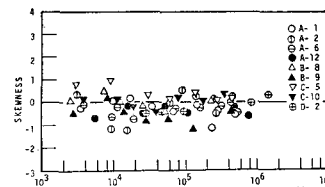


図-2 河床高分布の偏り度

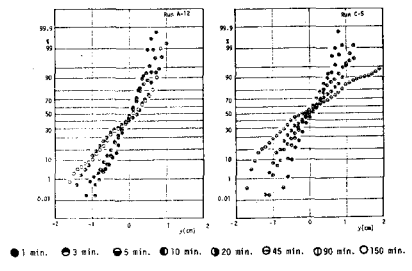
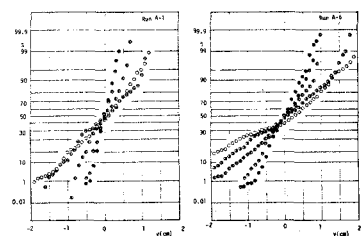


図-3 河床高分布の例

ただし、ここで  $M$  を一走進としたが、 $M$  の変動が大きくなると明らかに  $M$  の1回数となるので、以上の議論は砂面擾乱の初期のみに限られる。 $M$  すなはち河床高  $h$  との関係は実験によく概略は調べられておりものの詳細は明らかでなく今後の研究課題である。以上に得られた結論は著者らが行なった河床波の発達と砂粒移動に関する実験結果<sup>1)</sup>をも検証された。ところが、 $M$  は単位時間当たりの砂の離脱確率密度でこれは著者らが sediment pick-up rate  $p_s$  として、底面せん断応力との関係を求めていたものと同等であり、次式によって推定される。 $p_s \sqrt{d/(t_k t)} = 3 \times 10^2 C^*(1 - \frac{C^*}{C})^3 \dots (5)$

ただし  $C^*$  は限界の無次元掃流力であり、また式(5)は著者らが得た  $p_s$  の推定式の近似表示で、図-4に示されるように理論曲線・実験値と良く合致している。

これを用いて河床高の分散の時間的変化は、 $(\sigma/d)^2 = 6 \times 10^2 C^*(1 - \frac{C^*}{C})^3 t \sqrt{p_s d / t}$  となり、次式が得られる。 $(\sigma/d)^2 / t \ln t / d = 0.24 C^*^{1/4} (1 - \frac{C^*}{C})^{3/2} \dots (6)$

式(6)を実験によく検証したものか図-5である。これを見ると、河床高分布の時間的変化を式(6)で概略説明できるが、実験値の方が若干小さ目となっている。

これは、砂面上の一点での砂粒の離脱・落下を独立な事象として扱ったことによる。すなはち、 $\mu_d$  と  $\mu_s$  は次式のように step length に因縁づけられており、step length に沿う情報が加えられることにより実際の現象が説明される。

$$\mu_d(x) = \int_0^\infty \mu_s(x-s) f_x(s) ds \dots (7) \quad (f_x(s): \text{step length の確率密度函数})$$

また、時刻  $t$  の河床高の水路方向の分布は、

$$\mu_t(x) = \{ \mu_d(x) - \mu_s(x) \} A_1 d \cdot t \dots (8) \quad (A_1: \text{砂の形状係数})$$

で表される。式(7)は、 $\mu_d$  が  $\mu_s$  と  $f_x(s)$  の畳み込み積分であることを示しており、 $\mu_d$  は  $\mu_s$  を input とし、 $f_x(s)$  を impulse 応答とする線型系の output であることがわかる。ところが、河床高の自己相関関数は、

$$R_{yy}(t) = A_1 d \cdot t \cdot E \{ [\mu_d(x) - \mu_s(x)] \cdot [\mu_d(x-t) - \mu_s(x-t)] \} \\ = A_1 d \cdot t \cdot [R_{dd}(t) - R_{ds}(t) + R_{ss}(t) - R_{sd}(t)] \dots (9)$$

である。ここに、添字  $d$  は  $\mu_d$ 、 $s$  は  $\mu_s$  に1回する量を示すものとする。次に、畳み込み積分定理を用い、さらに  $\mu_s$  から  $\mu_d$  に変換するときのシステム関数が  $H(i\omega) = \int_0^\infty f_x(s) e^{-i\omega s} ds = 1/(1 + i\omega l_0)$  であることを考慮すると ( $k/4\pi$ : 搾乱の波数、 $l_0$ : 平均 step length), 河床高のパワースペクトル密度関数は、 $S_{yy}(k) = [k^2 / ((1/l_0)^2 + k^2)] A_1 \cdot d \cdot S_{ss}(k) \cdot t \dots (10)$  となる。ここにおいて  $S_{ss}(k)$  は  $\mu_s$  の場所的変動に1回するもので、今後のところその詳細は未知である。図-6 は  $R_{yy}(t)/R_{yy}(0) = e^{-t/l_0}$  と仮定して実験結果と式(10)を比較したものであるが、今後、 $\mu_s$  の時間的・場所的変動特性についての検討が必要である。さらには、河床の凹凸が顕著 (= 砂丘) な時の  $p_s$ 、step length の特徴についても今後の課題である。

### 参考文献

- 1) 中川・土本・矢田：昭和51年度西日本年次講演概要、1976.
- 2) 中川・土本：土学会論文報告集、1975.

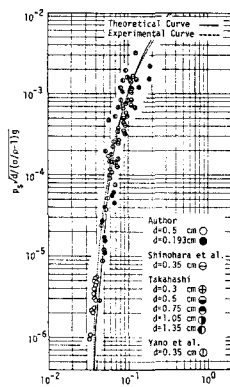


図-4 sediment pick-up rate と  $C^*$  の関係

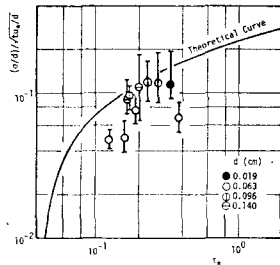


図-5 式(6)と実験値の比較

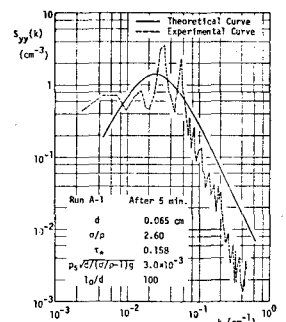


図-6 河床高の波数スペクトル密度の例